

СПИСОК ЛИТЕРАТУРЫ

1. Сулима А.И., Шувалов В.А., Ягодкин Ю.Д. Поверхностный слой и эксплуатационные свойства деталей машин. – М.: Машиностроение, 1988. – 240 с.
2. Zorev N.N., Del G.D., Kufarew G.L. und Goldschmidt M.G. Spannungszustand in der Schnittzone. Annals of the C.I.R.P. Vol XIV, 1967. p.p. 337 – 346.
3. Куфарев Г.Л., Окенов К.Б., Говорухин В.А. Стружкообразование и качество обработанной поверхности при несвободном резании. -Фрунзе: Мектеп, 1970. – 169 с.
4. Гольдшмидт М.Г. Деформации и напряжения при резании металлов. – Томск: Изд-во СТТ, 2001. – 180 с.
5. Седов Л.И. Механика сплошной среды. -М.: Наука, 1973. – 430 с.

Томский политехнический университет

УДК 620.171

М.Г. ГОЛЬДШМИДТ

**ОЦЕНКА ИНЕРЦИОННОЙ СОСТАВЛЯЮЩЕЙ ДЕФОРМИРУЮЩЕГО УСИЛИЯ  
ПРИ ИСПЫТАНИИ МАТЕРИАЛОВ РЕЗАНИЕМ**

Проведена оценка инерционной составляющей деформирующего усилия при высокоскоростных испытаниях материалов растяжением, сжатием, резанием. Показано, что при испытании резанием до скорости деформации  $10^7 \text{ c}^{-1}$  инерционная составляющая работы деформации не превышает 1%.

Для получения кривых «напряжение – деформация» при высокоскоростных испытаниях материалов кроме традиционных сжатия и растяжения находят применение так называемые нетрадиционные методы, среди которых как перспективный отмечается испытание резанием [1, 2].

Поскольку при испытаниях фиксируется суммарное деформирующее усилие, по которому рассчитывается интенсивность напряжений  $\sigma_i$ , представляет интерес оценить вклад инерционной составляющей при различных методах испытаний.

В работе [3] проводилась оценка величины динамического сопротивления при сжатии образцов. Основываясь на тех же предпосылках, получим соотношения, более универсальные, пригодные для анализа процессов растяжения, сжатия и резания<sup>1</sup>.

Пусть цилиндрический образец высотой  $H$  и радиусом  $R$  осаживается (растягивается) без образования бочки (шейки) со скоростью движения захватов машины  $V = V(t)$ . Пусть  $F$  – сила, регистрируемая динамометром. Тогда  $\sigma_i = \frac{F}{S}$ , где  $S = S(t)$  – площадь поперечного сечения образца. Деформирующее усилие  $F$  расходуется на работу формоизменения  $A_\Phi$  и изменение кинетической энергии частиц  $E$

$$A = A_\Phi + E.$$

Но с другой стороны

$$\frac{dA}{dt} = FV,$$

<sup>1</sup> Исследование выполнено совместно со Шлякманом Б.М.

тогда

$$F = \frac{1}{V} \cdot \frac{dA}{dt} = \frac{1}{V} \cdot \left( \frac{dA_\phi}{dt} + \frac{dE}{dt} \right).$$

Таким образом, инерционная составляющая деформирующего усилия  $F$  равна  $\frac{1}{V} \cdot \frac{dE}{dt}$ , а соответствующая "добавка" к интенсивности напряжений выразится как

$$\Delta\sigma_{ин} = \frac{1}{VS} \cdot \frac{dE}{dt}.$$

Определим величину  $\frac{dE}{dt}$ . В цилиндрических координатах, исходя из условия неожиданности, можно записать составляющие скорости частиц образца

$$V_z = \pm \frac{V \cdot z}{h}; \quad V_r = \mp \frac{V \cdot r}{2h}; \quad V_\phi = 0,$$

где высота образца  $h = h(t) = H \pm \int_0^t V dt$  (здесь верхние знаки берутся при растяжении, нижние - при сжатии).

Тогда  $E = \int_w^{\rho V^2} dw$ , где  $\rho$  - плотность,  $V$  - скорость частиц,  $w$  - элемент объема.

Так как

$$V^2 = V_z^2 + V_r^2,$$

то

$$E = \frac{\rho}{2} \int_w^{\frac{V^2}{h^2}} \left( z^2 + \frac{r^2}{4} \right) dw = \frac{\rho V^2}{2h^2} \int_0^{2\pi} \int_0^h \int_0^r r \left( z^2 + \frac{r^2}{4} \right) dz dr d\phi = \pi \cdot \rho \cdot V^2 \cdot R^2 \cdot H \cdot \left( \frac{1}{6} + \frac{R^2 \cdot H}{16h^3} \right).$$

Далее при сжатии

$$\frac{dE}{dt} = \pi \cdot \rho \cdot V \cdot R^2 \cdot H \cdot \left[ V_t' \cdot \left( \frac{1}{3} + \frac{R^2 \cdot H}{8h^3} \right) + V^2 \cdot \frac{3}{16} \cdot \frac{R^2 \cdot H}{h^4} \right]$$

и

$$\Delta\sigma_{ин} = \rho \left[ V_t' \cdot \left( \frac{h}{3} + \frac{R^2 \cdot H}{8h^3} \right) + \frac{3}{16} \cdot V^2 \cdot \frac{R^2 \cdot H}{h^3} \right]. \quad (1)$$

Аналогично при растяжении

$$\Delta\sigma_{ин} = \rho \left[ V_t' \cdot \left( \frac{h}{3} + \frac{R^2 \cdot H}{8h^2} \right) - \frac{3}{16} \cdot V^2 \cdot \frac{R^2 \cdot H}{h^3} \right]. \quad (2)$$

Инерционные добавки  $\Delta\sigma_{ин}$  при растяжении и сжатии отличаются знаком перед вторым слагаемым в квадратных скобках.

Обычно испытания проводят при постоянной скорости деформирования ( $V=const$ ), либо при постоянной интенсивности деформаций ( $\dot{\epsilon}_i=const$ ).

В первом случае при сжатии

$$\Delta\sigma_{ин} = \frac{3}{16} \cdot \rho V^2 \cdot \frac{R^2 \cdot H}{h^3}$$

и при растяжении

$$\Delta\sigma_{ин} = -\frac{3}{16} \cdot \rho V^2 \cdot \frac{R^2 \cdot H}{h^3}.$$

То есть при сжатии инерционная добавка увеличивает напряжение, а при растяжении уменьшает.

Во втором случае, когда  $\dot{\varepsilon}_i = \text{const}$ ,  $V = \dot{\varepsilon}_i h$ . Тогда при сжатии  $V'_t = \dot{\varepsilon}_i h' = -\dot{\varepsilon}_i V = -\dot{\varepsilon}_i^2 h$  и

$$\Delta\sigma_{ин} = -\dot{\varepsilon}_i^2 \rho \left[ \frac{h^2}{3} - \frac{1}{16} \cdot \frac{R^2 \cdot H}{h} \right],$$

а при растяжении  $V'_t = \dot{\varepsilon}_i^2 h$  и

$$\Delta\sigma_{ин} = \dot{\varepsilon}_i^2 \rho \left[ \frac{h^2}{3} - \frac{1}{16} \cdot \frac{R^2 \cdot H}{h} \right].$$

Здесь  $\Delta\sigma_{ин}$  также имеет противоположные знаки.

Таким образом, инерционные силы по-разному влияют на сопротивление деформированию при скоростном сжатии и растяжении. Правда, заметным влияние инерционных сил становится при сравнительно больших скоростях. Так при размерах образца  $H=15\text{мм}$  и  $R=5\text{мм}$  инерционную составляющую следует учитывать при  $\dot{\varepsilon}_i > 10^3 \text{с}^{-1}$ .

Можно подобрать такой закон деформирования, когда  $\Delta\sigma_{ин} = 0$ .

В этом случае  $\frac{dE}{dt} = 0$  или для сжатия  $E = \pi \cdot \rho \cdot V^2 \cdot R^2 \cdot H \cdot \left( \frac{1}{6} + \frac{R^2 \cdot H}{16h^3} \right) = \text{const}$ .

Отсюда имеем дифференциальное уравнение для определения закона деформирования

$$h'_t \cdot \left( \frac{1}{3} + \frac{R^2 \cdot H}{8h^3} \right)^{1/2} = c.$$

Тогда

$$\int \left( \frac{1}{3} + \frac{R^2 \cdot H}{8h^3} \right)^{1/2} dh = ct.$$

Интеграл в левой части уравнения в элементарных функциях не выражается, но закон деформирования  $h=h(t)$ , когда  $\Delta\sigma_{ин}=0$  существует и является решением указанного уравнения. Схематически в координатах  $V-t$  его можно изобразить кривой  $\Delta\sigma_{ин}=0$  на рис. 1, а. Аналогично - для растяжения (1, б).

Все сказанное выше относится к установившейся фазе деформирования.

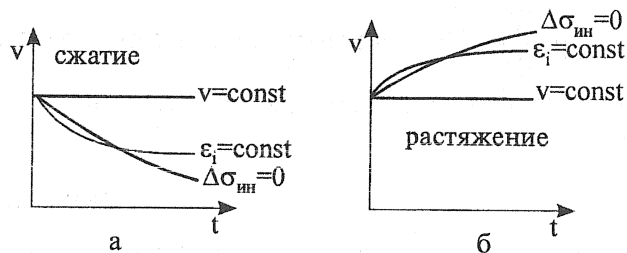


Рис.1. Схема влияния инерционных сил на сопротивление деформированию при скоростном сжатии (а) и растяжении (б)

Естественно, в реальном процессе в начальный момент времени скорость возрастает от 0 до некоторой величины.

Поскольку получить соотношения аналогичные (1) и (2) для резания затруднительно (выражения для скоростей  $V_x$  и  $V_y$  получаются громоздкими), оценим вклад инерционных сил в работу пластической деформации

$$A = \int \int \left( \sigma_i \dot{\varepsilon}_i + \frac{1}{2} \rho \frac{dV^2}{dt} \right) dt \cdot dw. \quad (3)$$

Первое слагаемое под интегралом соответствует работе формоизменения, второе – работе инерционных сил.

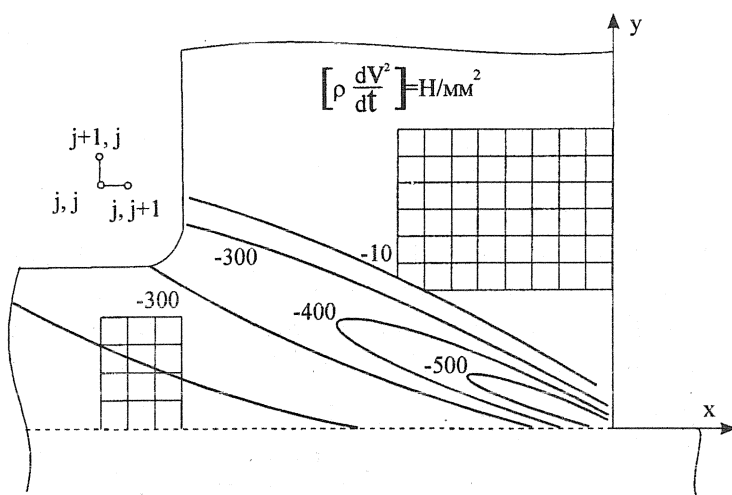


Рис. 2. Инерционная составляющая работы сил резания латуни Л62 ( $\gamma=0^\circ$ ;  $a=0,39\text{мм}$ ,  $V=216\text{м/мин}$ )

«напряжение – деформация» для латуни Л62, построенных для соответствующих температурно – скоростных условий [4]. Вблизи условной линии сдвига рассчитанное значение  $q$  составляет  $5 \cdot 10^6 \dots 10^7 \text{Н}/\text{мм}^2 \cdot \text{с}$ .

Инерционная составляющая работы деформации определена путем замены производной  $\frac{dV^2}{dt}$  конечной разностью и подсчета величины  $\frac{1}{2} \rho \frac{dV^2}{dt}$  в узлах разностной сетки, фрагменты которой приведены на рис. 2. Здесь же показаны рассчитанные значения величины  $\frac{1}{2} \rho \frac{dV^2}{dt}$ . Приведенные данные свидетельствуют о том, что при указанных выше условиях резания вклад инерционной составляющей в работу пластической деформации не превышает 1%.

Сравним эти слагаемые путем их численного расчета для случая прямоугольного свободного резания латуни Л62 резцом с нулевым передним углом, толщиной среза 0,39 мм и скоростью 216 м/мин.

Полагая, что вся работа пластической деформации при резании переходит в тепло, мощность источников  $q$  в пластической области составит  $q = \sigma_i \cdot \dot{\varepsilon}_i$ . Значения  $\dot{\varepsilon}_i$  определены по полям  $V_x$  и  $V_y$ , получаемым с помощью модели сливного стружкообразования, распределение  $\sigma_i$  – с помощью рассчитанного по модели поля  $\dot{\varepsilon}_i$  и динамических кривых «напряже-

### Выводы

1. При испытаниях материалов растяжением или сжатием инерционную составляющую деформирующего усилия необходимо учитывать при скорости деформации  $\dot{\varepsilon}_i \geq 10^3 \text{с}^{-1}$ .

2. При испытании материалов резанием влияние инерционных сил на сопротивление деформированию пренебрежимо мало до  $\dot{\varepsilon}_i = 10^7 \text{ с}^{-1}$ .

#### СПИСОК ЛИТЕРАТУРЫ

- Лира Ф. Томсен Е. Процесс резания как метод испытания свойств материалов. // Труды Американского общества инженеров механиков, с. В, 1967, № 3. С. 129-135.
- Гольдшмидт М.Г., Шлякман Б.М. Метод получения диаграмм пластического деформирования при высоких скоростях с использованием процесса резания. // Заводская лаборатория. 1976. № 11. С. 1396-1398.
- Суяров Д.И., Лель Р.В., Акс В.Ю., Козеева Н.И. Оценка величины динамического сопротивления при пластическом сжатии образцов с высокой скоростью. // Труды института металлургии Уральского филиала АН СССР. – Свердловск: 1966. Вып. 12. С. 107-115.
- Гольдшмидт М.Г. Деформации и напряжения при резании металлов. – Томск: Изд-во СТТ, 2001. – 180с.

Томский политехнический университет

УДК 621.9.01

*М.Г. ГОЛЬДШМИДТ, Ю.П. СТЕФАНОВ, П.В. МАКАРОВ*

## ЧИСЛЕННОЕ МОДЕЛИРОВАНИЕ СЛИВНОГО СТРУЖКООБРАЗОВАНИЯ

Приведены некоторые результаты численного моделирования процесса ортогонального резания металлов; рассмотрена «установившаяся» стадия процесса. Решением системы уравнений механики сплошной среды конечно-разностным методом получены «аналитические делительные сетки», компоненты деформаций и напряжений в зоне резания, в частности распределение напряжений вдоль условной линии сдвига, на передней поверхности инструмента, напряжения в слоях металла примыкающих к обработанной поверхности.

### Введение

Большое количество публикаций, посвященных анализу процесса обработки металлов резанием методами математического моделирования, говорит о неиссякающем интересе специалистов к данной проблеме. Продолжается разработка моделей процесса резания, ориентированных на изучение напряженно-деформированного состояния в зоне стружкообразования, влияния скорости деформации и температуры, закономерностей формирования поверхностного слоя. О широком интересе к данной проблеме свидетельствуют опубликованные в последнее время работы Вейца В.Л. и Максарова В.В. по моделированию процесса стружкообразования при лезвийной обработке [1], Behrens Arno и Westhoff Bert по применению метода конечных элементов для исследования процесса высокоскоростного резания [2], а также ряд других работ [3-8], посвященных численному моделированию.

### Постановка задачи и метод решения

Изучение процесса деформирования методами численного моделирования позволяет получить напряженно-деформированное состояние в расчетной области. Это осуществляется